

Физика на елементарните частици

Лекция 1

Л. Литов

Софийски Университет

София, Април 2008

Що е то?



Физика на елементарните частици

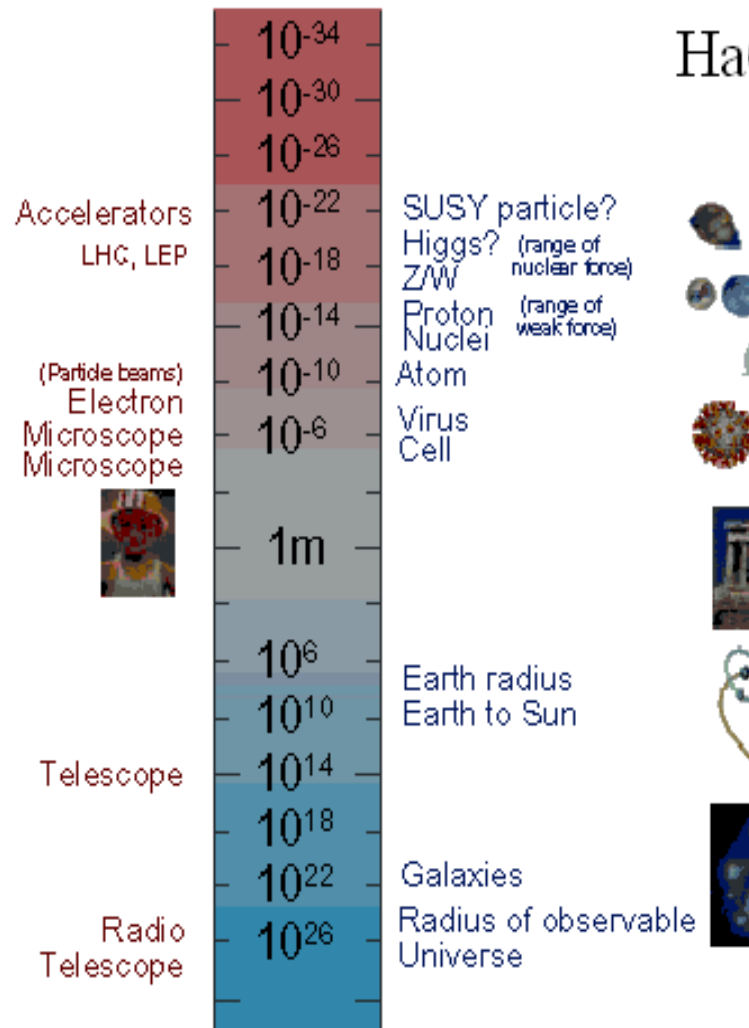


Опитва се да отговори на на два фундаментални въпроса

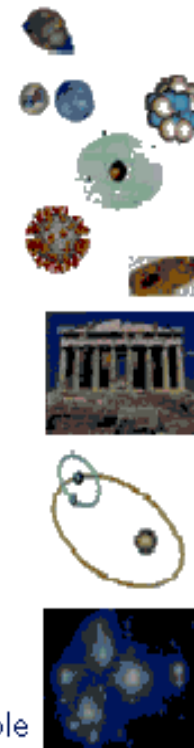
-Кои са елементарните съставящи на материята?

-Кои са фундаменталните сили, контролиращи тяхното поведение ?

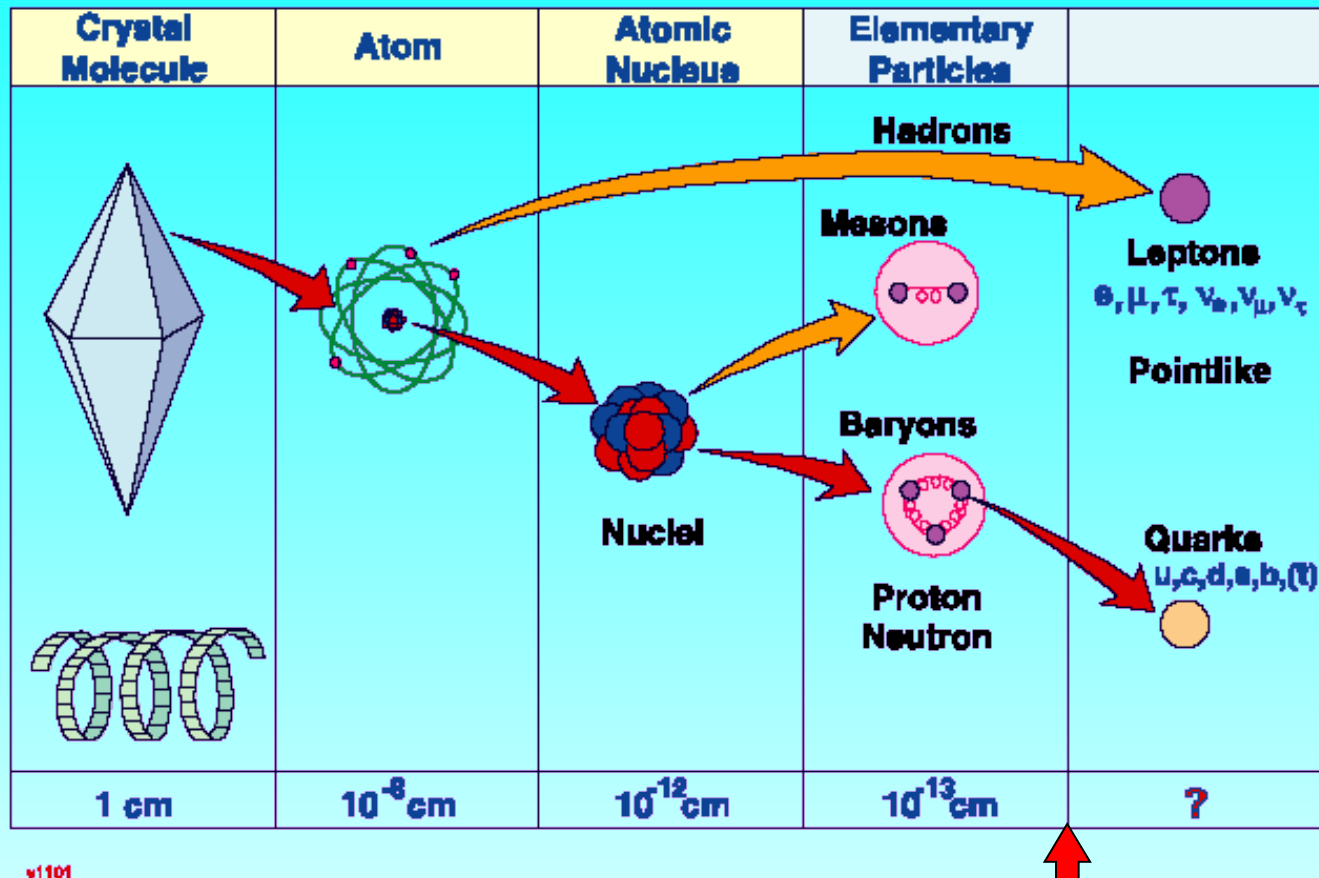
Инструменти



Наблюдаеми



Структура на материята



Физика на елементарните частици

Структура на материята

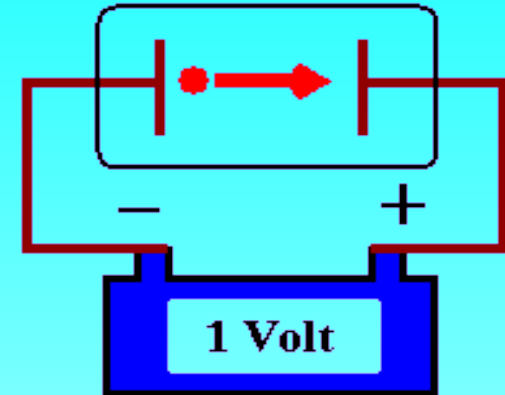


Единици във физиката на елементарните частици

Енергия

1 електронволт (eV):

енергията на частица с електричен заряд = $|e|$,
първоначално в покой, след това ускорена от
разлика в електростатичния потенциал = 1 Volt
($e = 1.60 \times 10^{-19}$ C)



$$1 \text{ eV} = 1.60 \times 10^{-19} \text{ J}$$

Кратни:

$$1 \text{ keV} = 10^3 \text{ eV}; \quad 1 \text{ MeV} = 10^6 \text{ eV}$$

$$1 \text{ GeV} = 10^9 \text{ eV}; \quad 1 \text{ TeV} = 10^{12} \text{ eV}$$

Енергията на протон в ускорителя LHC (2008):

$$7 \text{ TeV} = 1.12 \times 10^{-6} \text{ J}$$

(същата енергия има тяло с маса 1 mg, движещо се със скорост 1.5 m /s)



Маса, разстояние, енергия, температура



Тези величини са свързани

Във физиката на елементарните частици единицата за енергия е електронволт

$$E = mc^2 \quad c = 3 \times 10^8 \text{ m/s} \quad \text{скорост на светлината във вакуум}$$

$$E = kT \quad k = 10^{-4} \text{ eV K}^{-1} \quad \text{константа на Болцман}$$

$$E = hc/\lambda \quad h = 4 \times 10^{-15} \text{ eV s} \quad \text{константа на Планк}$$

$$\text{Маса на електрона} \quad 0.5 \text{ MeV}$$

$$\text{Маса на протона} \quad 1 \text{ GeV}$$

$$1 \text{ eV} \sim 10,000 \text{ K} \quad 1 \text{ GeV} \sim 10^{-15} \text{ m} = 1 \text{ fm}$$

Общата теория на относителността зависи от c и G (константата на Нютон), КМ зависи от \hbar . Естествена единица за дължина (Планкова дължина) $\sim 10^{-35} \text{ m}$

$$\sqrt{(\hbar G/c^3)}$$

Фундаментални съставящи

1894 – 1897: Откритие на електрона



J.J. Thomson

Изучаване на “катодни лъчи”: електричен ток в тръби при много ниско налягане на газа (“газов разряд”)

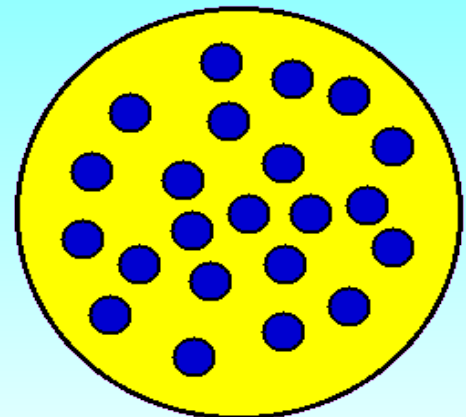
Измерване на масата на електрона: $m_e \approx M_H/1836$

“Could anything at first sight seem more impractical than a body which is so small that its mass is an insignificant fraction of the mass of an atom of hydrogen?” (J.J. Thomson)

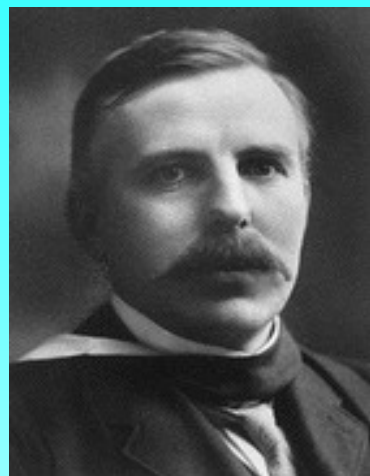
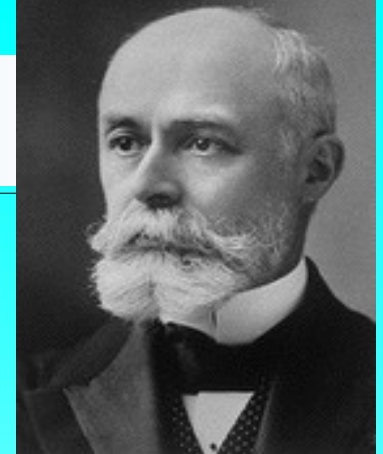
→ АТОМИТЕ НЕ СА ЕЛЕМЕНТАРНИ ЧАСТИЦИ

Атомен модел на Томсън:

- Електрично заредена сфера
- Радиус $\sim 10^{-8}$ см
- Положителен електричен заряд
- Електрони с отрицателен електричен заряд в сферата



1896: Естествена радиоактивност

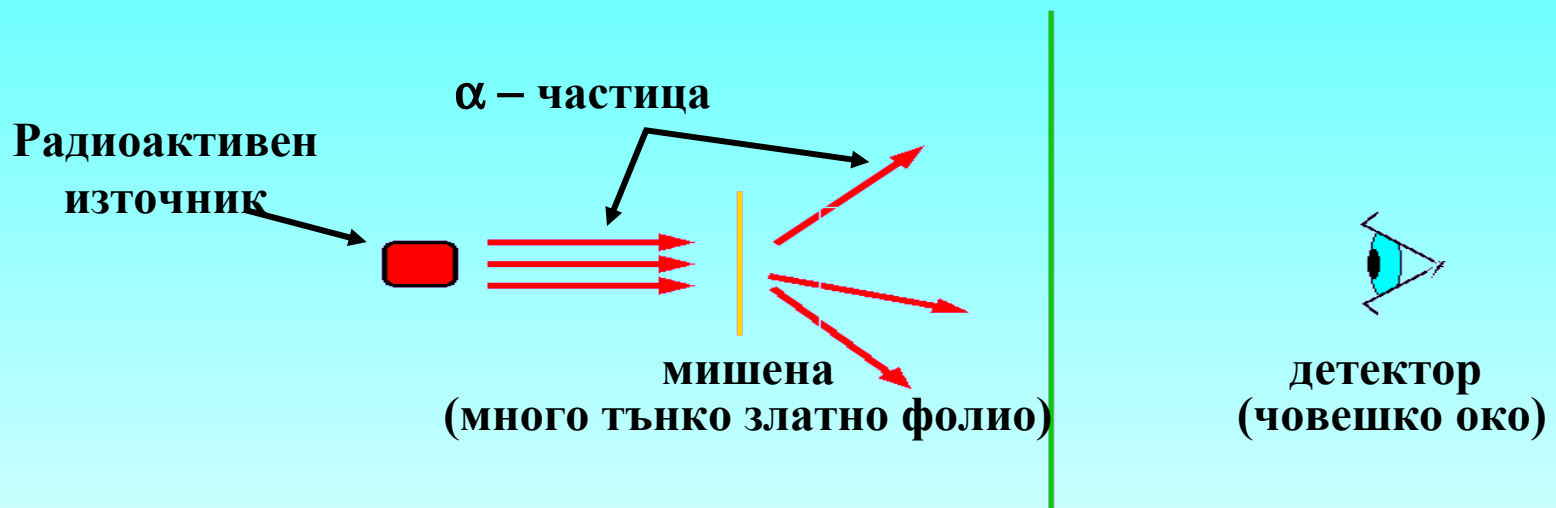


Ernest Rutherford

1909 – 13: Опити на Ръдърфорд с разсейване Откриване на атомните ядра

Henri Becquerel

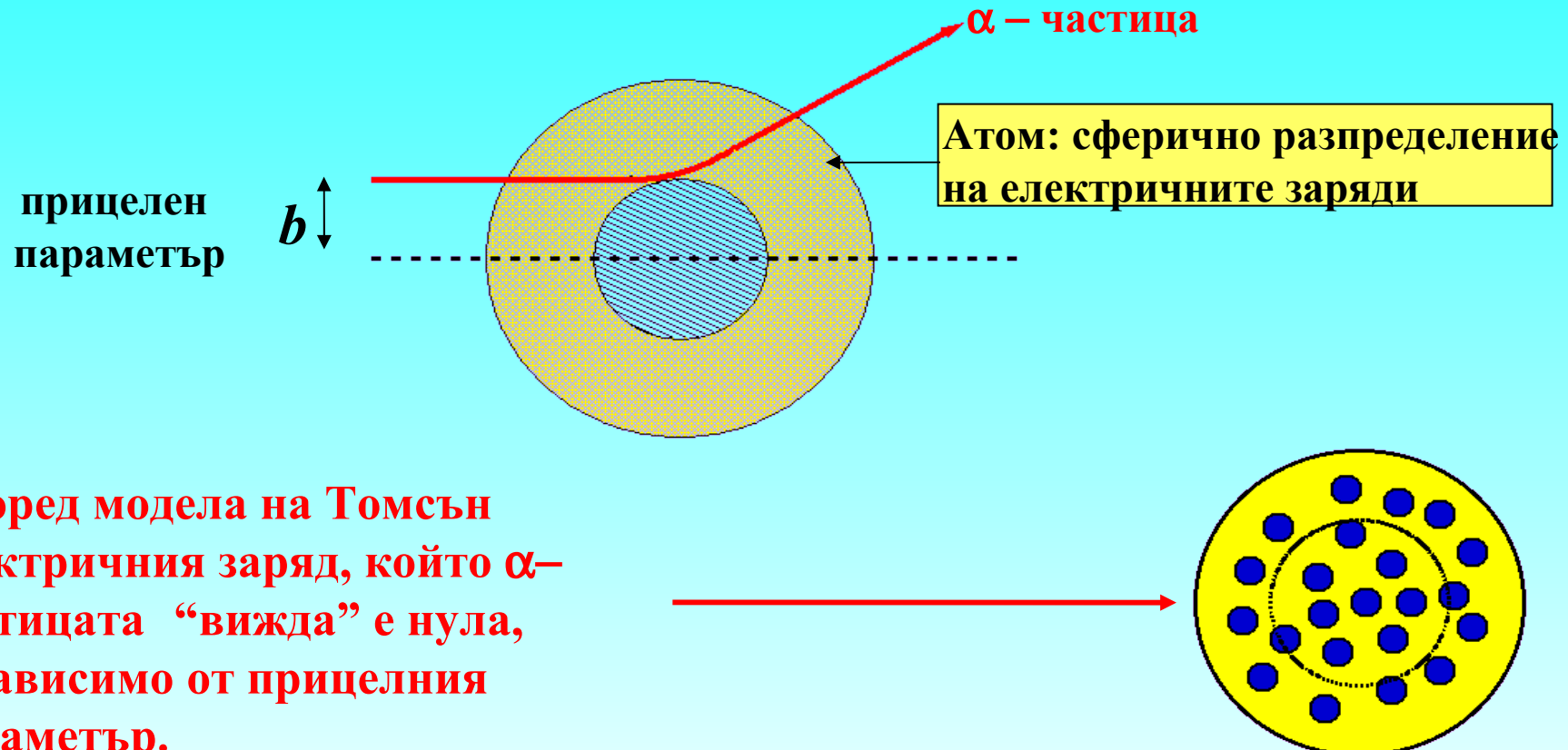
Флуоресцентен экран



α – частици: ядра на хелиеви атоми, спонтанно излъчени от тежки радиоактивни изотопи

Типична скорост на α – частица $\approx 0.05 c$ (c : скорост на светлината)

При разсейването на α -частици от атоми, доминира Кулоновото взаимодействие



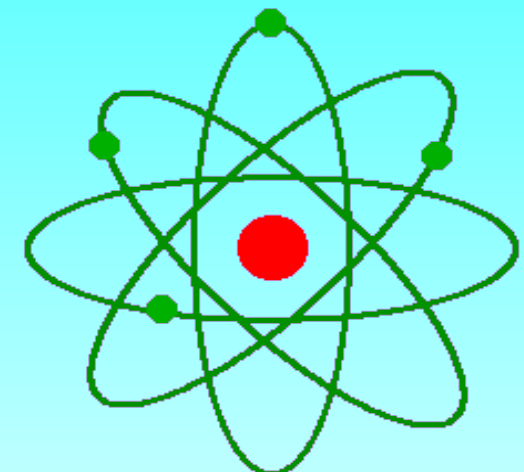
Според модела на Томсън
електричният заряд, който α -
частицата “вижда” е нула,
независимо от прицелния
параметър.

⇒ не се очаква значително разсейване на големи ъгли

Значително разсейване на α – частици на големи ъгли, в съгласие с разсейването, очаквано за сфера с радиус $\approx 10^{-13}$ см и електричен заряд = Ze , където $Z = 79$ (атомното число за злато) и e = |заряд на електрона|



Атомът се състои от положително заредено ядро забиколено от облак електрони



Радиус на ядрото $\approx 10^{-13}$ см $\approx 10^{-5} \times$ радиус на атома

**маса на ядрото \approx маса на атома
(до 1%)**

**Неутрон: частица с маса \approx масата на протона,
но с нулев електричен заряд (Chadwick, 1932)**

Решение на проблема с ядрената структура:

Ядра с атомно число Z и масово число A:

свързана система от Z протона и (A-Z) наутона

Аномалия при азота: няма проблем ако спинът на неутрона = $\frac{1}{2}\hbar$

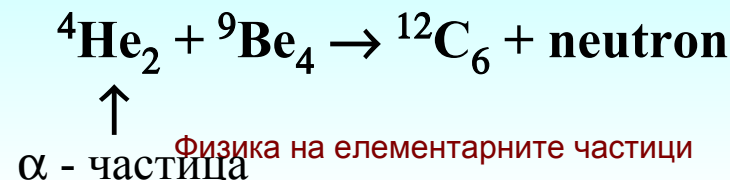
Ядра на азот ($A = 14$, $Z = 7$): 7 протона, 7 неутрона = 14 частици
със спин $\frac{1}{2}$

\Rightarrow пълният спин е цяло число



James Chadwick

Източник на неutronи в експериментите на Chadwick: радиоактивен източник ^{210}Po (5 MeV α -частици) смесен с берилиев прах \Rightarrow излъчване на електрически неутрално лъчение, което може да премине няколко сантиметра в Pb:



В квантовата механика орбитите на електрона около ядрата се “квантуват”: **само някои специфични орбити (характеризирани с цели квантови числа) са разрешени**

$$R_n = \frac{4\pi \epsilon_0 \hbar^2 n^2}{me^2} \approx 0.53 \times 10^{-10} n^2 \text{ [m]}$$

$$E_n = -\frac{me^4}{2(4\pi \epsilon_0)^2 \hbar^2 n^2} \approx -\frac{13.6}{n^2} \text{ [eV]}$$

$$\left. \begin{array}{l} m = m_e m_p / (m_e + m_p) \\ n = 1, 2, \dots \end{array} \right)$$

В атоми със $Z > 2$ има само два електрона на най-вътрешната орбита - ЗАЩО?

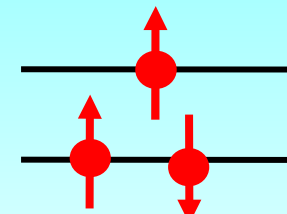
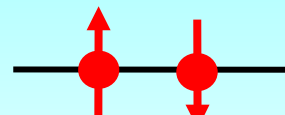
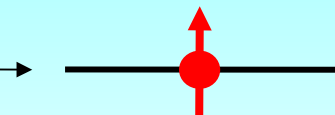
ОТГОВОР (Pauli, 1925): два електрона (спин = $\frac{1}{2}$) никога не могат да бъдат в едно и също физично състояние

Водород ($Z = 1$)

Хелий ($Z = 2$)

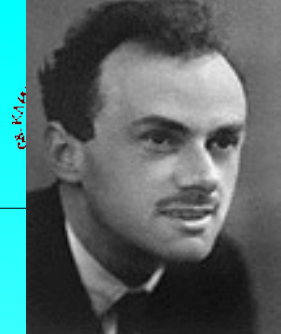
Литий ($Z = 3$)

Най-ниско
енергетично
състояние



Wolfgang Pauli

Принципът на Паули се отнася за всички частици с полуцял спин
(наричани фермиони)



Открита “теоретично” от by P.A.M. Dirac (1928)

Уравнение на Дирак: релативистко вълново уравнение за електрона

Два изненадващи резултата:

- Движение на електрон в електромагнитно поле:
присъствие на член, описващ (за бавни електрони) потенциалната енергия
на магнитния диполен момент в магнитно поле
⇒ съществуване на вътрешен магнитен диполен момент на електрона,
противоположен на спина



$$\mu_e = \frac{e\Box}{2m_e} \approx 5.79 \times 10^{-5} [\text{eV/T}]$$

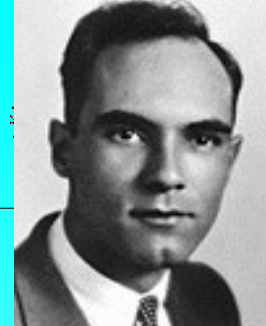
За всяко решение на уравнението на Дирак с енергия на електрона $E > 0$,
има и друго решение с $E < 0$.

Какъв е физичният смисъл на решенията с “отрицателна енергия”?

L. Litov

Физика на елементарните частици

Sofia, April 2008



(C.D. Anderson, 1932)

Измерване на импулса и електричния заряд на частицата
от закривяването в магнитно поле

Carl D. Anderson

Детектор: Уилсънова газова камера(детектор за пряко наблюдение,
базиран на газов обем и пари, близки до насищане) в магнитно поле,
изложена на космични лъчи.



Проекцията на траекторията на частицата
в равнина, перпендикулярна на B ,
е окръжност

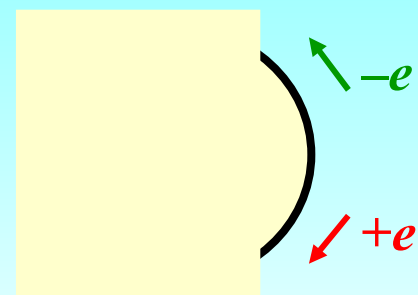
$$\text{Лоренцова сила } f = ev \times B$$

Радиус на окръжността за електричен заряд $|e|$:

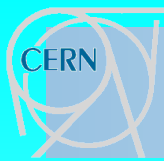
p_{\perp} : компонента на импулса,
перпендикулярна на посоката
на магнитното поле

Не е възможно да се отличат положително от
отрицателно заредени частици,
движещи се в противоположни посоки!

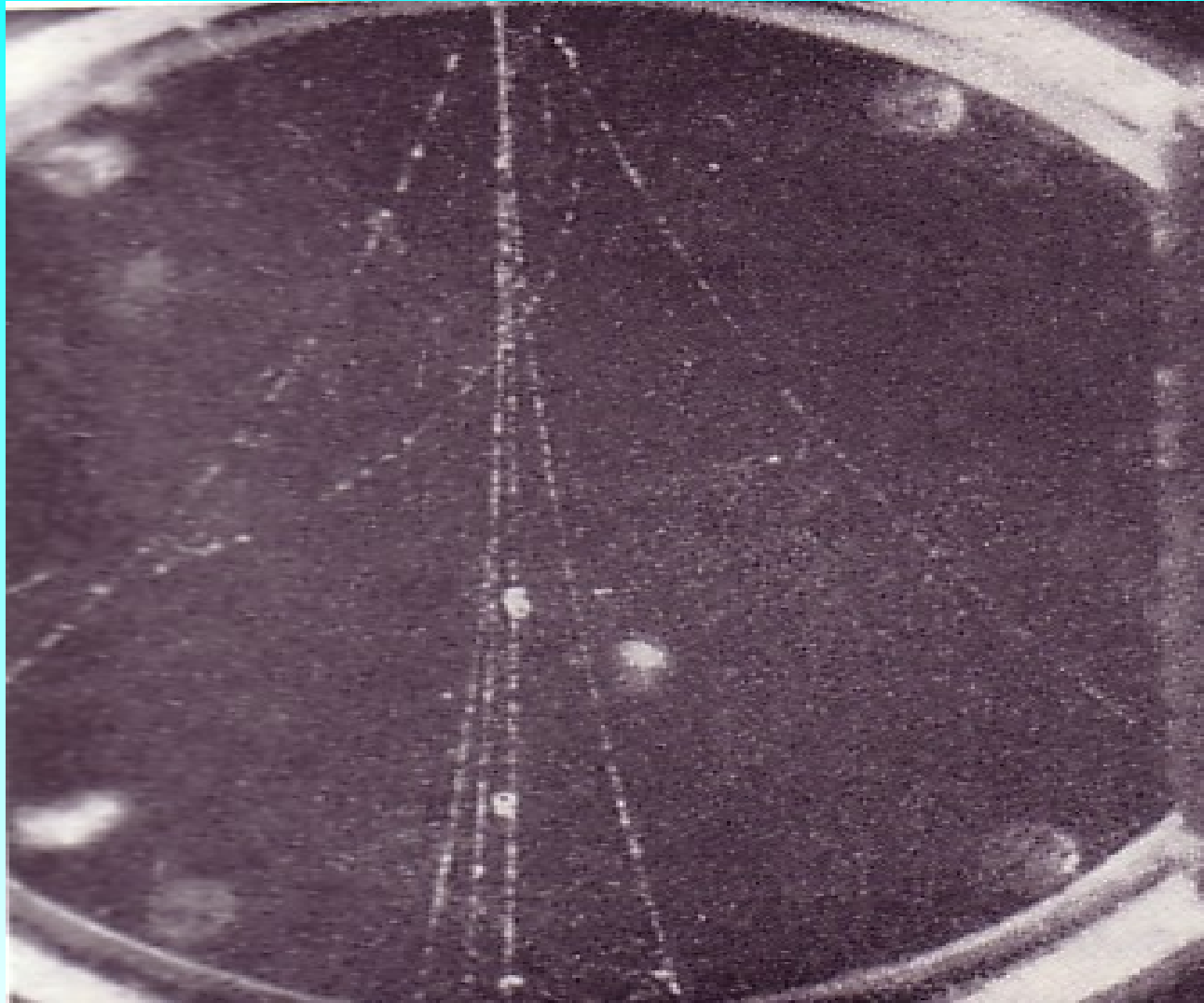
$$R [\text{m}] = \frac{10 p_{\perp} [\text{GeV}/c]}{3B [\text{T}]}$$



⇒ Необходимо е независимо определяне
на посоката на движение на частицата



Експериментално потвърждение за антиматерията



L. Litov

Космични лъчи, съдържащи няколко двойки $e^+ e^-$
Физика на елементарните частици

Sofia, April 2008



Неутрино



Декември, 1930: писмо от W. Pauli до среща на физиците в Tübingen

Zürich, Dec. 4, 1930

Dear Radioactive Ladies and Gentlemen,

...because of the “wrong” statistics of the N and ^6Li nuclei and the continuous β -spectrum, I have hit upon a desperate remedy to save the law of conservation of energy. Namely, the possibility that there could exist in the nuclei electrically neutral particles, that I wish to call neutrons, which have spin $\frac{1}{2}$ and obey the exclusion principle The mass of the neutrons should be of the same order of magnitude as the electron mass and in any event not larger than 0.01 proton masses. The continuous β -spectrum would then become understandable by the assumption that in β -decay a neutron is emitted in addition to the electron such that the sum of the energies of the neutron and electron is constant.

..... For the moment, however, I do not dare to publish anything on this idea

So, dear Radioactives, examine and judge it. Unfortunately I cannot appear in Tübingen personally, since I am indispensable here in Zürich because of a ball on the night of 6/7 December.

W. Pauli

Теория на β -разпада (V-A модел)



β^- разпад: $n \rightarrow p + e^- + \bar{\nu}$

β^+ разпад: $p \rightarrow n + e^+ + \nu$ (напр., $^{14}\text{O}_8 \rightarrow ^{14}\text{N}_7 + e^+ + \nu$)

ν : частицата, предложена от Паули
(наречена “неутрино” от Ферми)

$\bar{\nu}$: нейната античастица (антинеутрино)

(E. Fermi, 1932-33)

Теория на Ферми: взаимодействие в точка между четири частици със спин $\frac{1}{2}$,
използва се математическият формализъм на операторите на раждане и
унищожение, измислени от Jordan

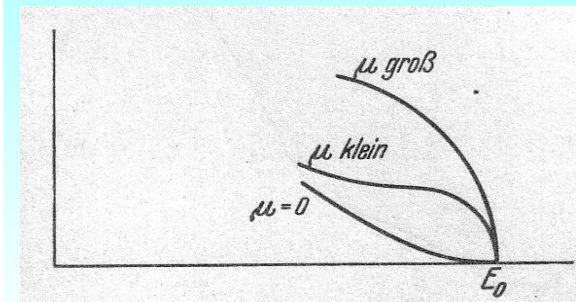
⇒ частиците, изльчени при β – разпад не е необходимо да са
съществували преди изльчването – те се “раждат” в момента на разпада

Предсказание за скоростите на β – разпада и енергетичния спектър на
електрона като функция на само един параметър:
константата на Ферми G_F (определена експериментално)

Зависимост на спектъра на енергията от масата на
неутриното μ

(от оригиналната статия на Ферми, публикувана на немски в
German Zeitschrift für Physik, след отхвърляне на английската
версия от Nature)

Видимо изкривяване за $\mu > 0$ близо до крайната точка
(E_0 : максимална позволена енергия за електрона)

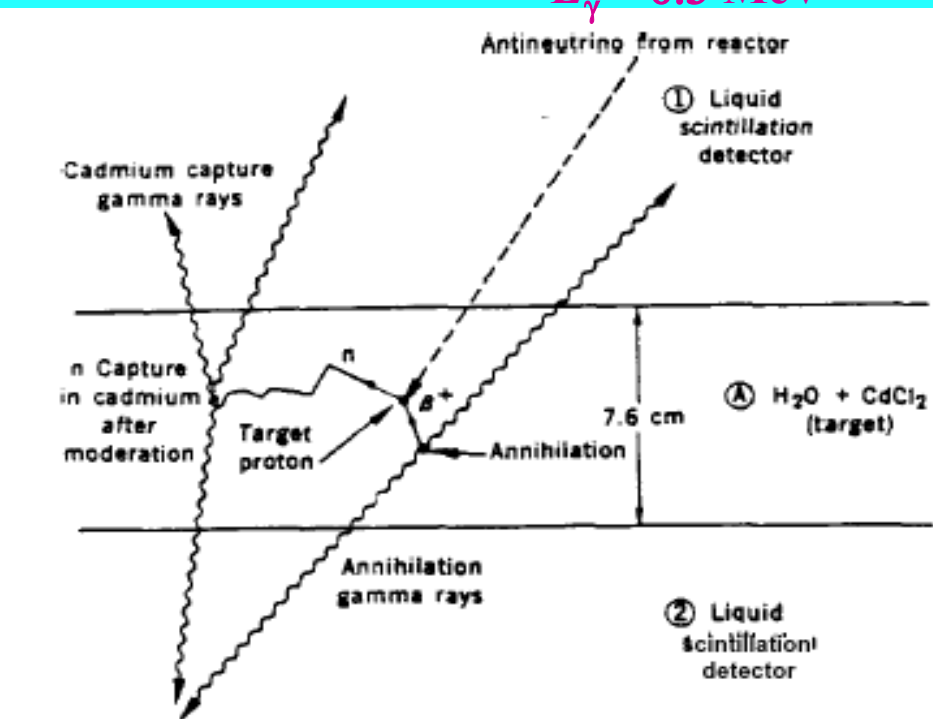
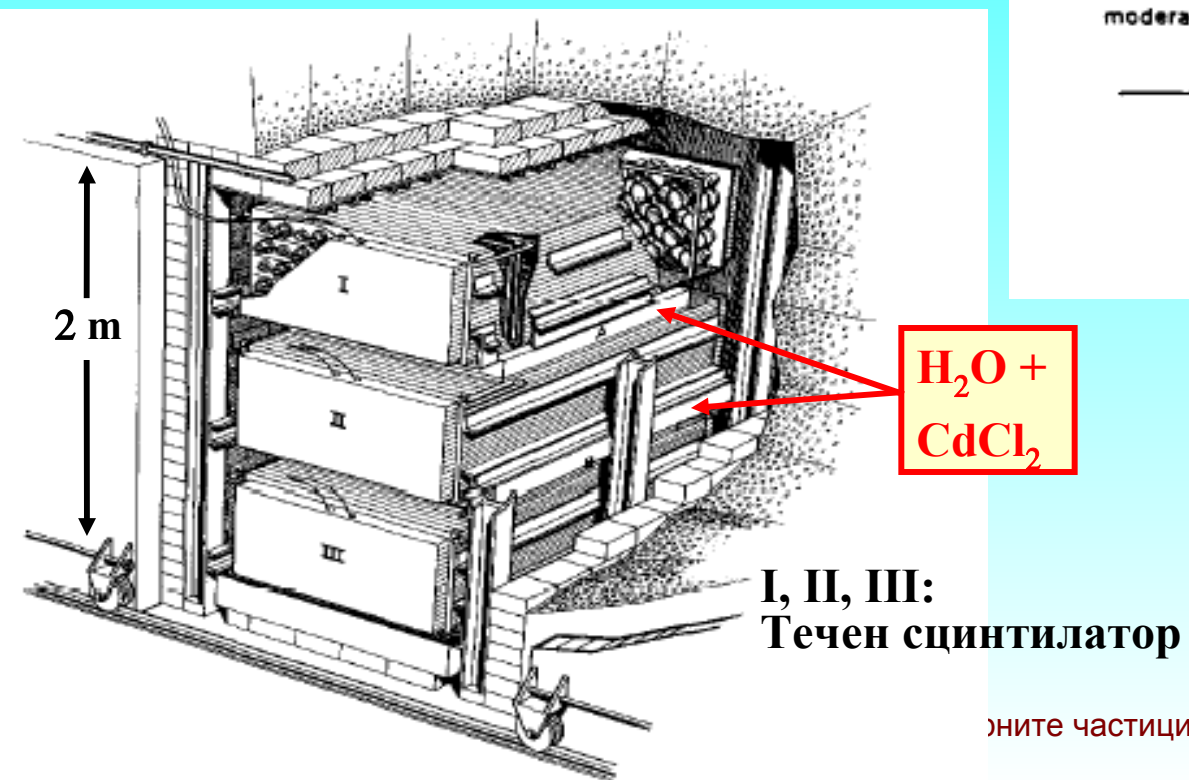


Наблюдение на неутриното

$E_\gamma = 0.5 \text{ MeV}$



- детектират се 0.5 MeV γ -лъчи от $e^+e^- \rightarrow \gamma\gamma$ ($t = 0$)
”термализация” на неutronа, следвана от захващане в ядро на Cd \Rightarrow излъчване на закъснели γ -лъчи
(средно закъснение $\sim 30 \mu\text{s}$)



(Reines, Cowan 1953)

Честота на събитията в атомната електроцентрала в Savannah River :

3.0 ± 0.2 събития / час

(след изваждане на събитията, измерени при изключен реактор)

в съответствие с очакванията
Sofia, April 2008

1947: Откритие на π -мезон



Наблюдение на разпада $\pi^+ \rightarrow \mu^+ \rightarrow e^+$ в ядрена емулсия, изложена на космични лъчи при голяма надморска височина

Във всички събития, мюонът има фиксирана кинетична енергия (4.1 MeV, съответстваща на пробег $\sim 600 \mu\text{m}$ в ядрена емулсия)

\Rightarrow двучастичен разпад

$$m_\pi = 139.57 \text{ MeV}/c^2 ; \text{ спин} = 0$$

Доминиращ канал на разпад: $\pi^+ \rightarrow \mu^+ + \nu$ (и $\pi^- \rightarrow \mu^- + \nu$)

Средно време на живот в покой: $\tau_\pi = 2.6 \times 10^{-8} \text{ s}$

Съществува и неутрален π – мезон (π^0):

$m(\pi^0) = 134.98 \text{ MeV}/c^2$, разпад: $\pi^0 \rightarrow \gamma + \gamma$, средно време на живот = $8.4 \times 10^{-17} \text{ s}$

π – мезоните са най-изобилно рожданите частици в сблъсъците протон-протон и протон-ядро при високи енергии

Четири събития, показващи разпада на π^+ , които накрая спират, в ядрена емулсия



Възможни канали на разпад на протона (позволени от всички познати закони за запазване: енергия и импулс, електричен заряд, ъглов момент):

$$p \rightarrow \pi^0 + e^+$$

$$p \rightarrow \pi^0 + \mu^+$$

$$p \rightarrow \pi^+ + \nu$$

Защо свободният протон е стабилен?

До сега не е наблюдава^н разпад на протона – протонът е **СТАБИЛНА** частица
Граница за средното време на живот на протона: $\tau_p > 1.6 \times 10^{32}$ years

Измисля се ново квантово число: “Барионно число”

B = 1 за протон, неutron

B = -1 за антипротон, антинеutron

B = 0 за e^\pm , μ^\pm , неутрино, мезони, фотони

Изиска се запазване на барионното число във всички процеси:

$$\sum_i B_i = \sum_f B_f$$

(i : начално състояние на частицата; f : крайно състояние на частицата)

Странност

Края на 40-те години на ХХв.: откриване на множество по-тежки мезони (K – мезони) и бариони (“хиперони”) – изучени подробно през 50-те години с новите протонни синхротрони с високи енергии (3 GeV “космотрон” в Brookhaven National Lab и 6 GeV Bevatron в Berkeley)

Стойности за масите:

Мезони (спин = 0): $m(K^\pm) = 493.68 \text{ MeV}/c^2$; $m(K^0) = 497.67 \text{ MeV}/c^2$

Хиперони (спин = $\frac{1}{2}$): $m(\Lambda) = 1115.7 \text{ MeV}/c^2$; $m(\Sigma^\pm) = 1189.4 \text{ MeV}/c^2$

$m(\Xi^0) = 1314.8 \text{ MeV}/c^2$; $m(\Xi^-) = 1321.3 \text{ MeV}/c^2$

Характеристики:

- Изобилно раждане в протон-ядро, π – ядро сблъсъци
- Сечение за раждане, типично за силните взаимодействия ($\sigma > 10^{-27} \text{ cm}^2$)
- Раждане в двойки (напр.: $\pi^- + p \rightarrow K^0 + \Lambda$; $K^- + p \rightarrow \Xi^- + K^+$)
- Разпад до по-леки частици със средни времена на живот $10^{-8} - 10^{-10} \text{ s}$ (както се очаква за разпад под действие на слабото взаимодействие)

Примери за канали на разпад

$K^\pm \rightarrow \pi^\pm \pi^0$; $K^\pm \rightarrow \pi^\pm \pi^+ \pi^-$; $K^\pm \rightarrow \pi^\pm \pi^0 \pi^0$; $K^0 \rightarrow \pi^+ \pi^-$; $K^0 \rightarrow \pi^0 \pi^0$; ...

$\Lambda \rightarrow p \pi^-$; $\Lambda \rightarrow n \pi^0$; $\Sigma^+ \rightarrow p \pi^0$; $\Sigma^+ \rightarrow n \pi^+$; $\Sigma^+ \rightarrow n \pi^-$; ...

$\Xi^- \rightarrow \Lambda \pi^-$; $\Xi^0 \rightarrow \Lambda \pi^0$

Странност

(Gell-Mann, Nakano, Nishijima, 1953)

■ Запазва се в силните взаимодействия

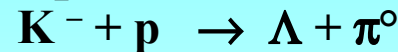
■ Не се запазва в слабите разпади:

$$\sum_i S_i = \sum_f S_f$$

$$\left| S_i - \sum_f S_f \right| = 1$$

$S = +1 : K^+, K^0 ; S = -1 : \Lambda, \Sigma^\pm, \Sigma^0 ; S = -2 : \Xi^0, \Xi^- ; S = 0 : \text{всички останали частици}$
 (и противоположна странност $-S$ за съответните античастици)

Пример за спиране на K^- в течен водород:

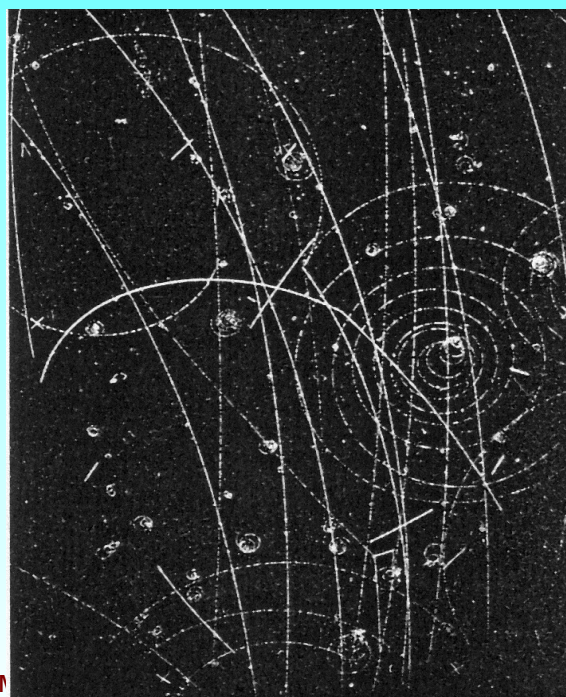


(страницата се запазва)

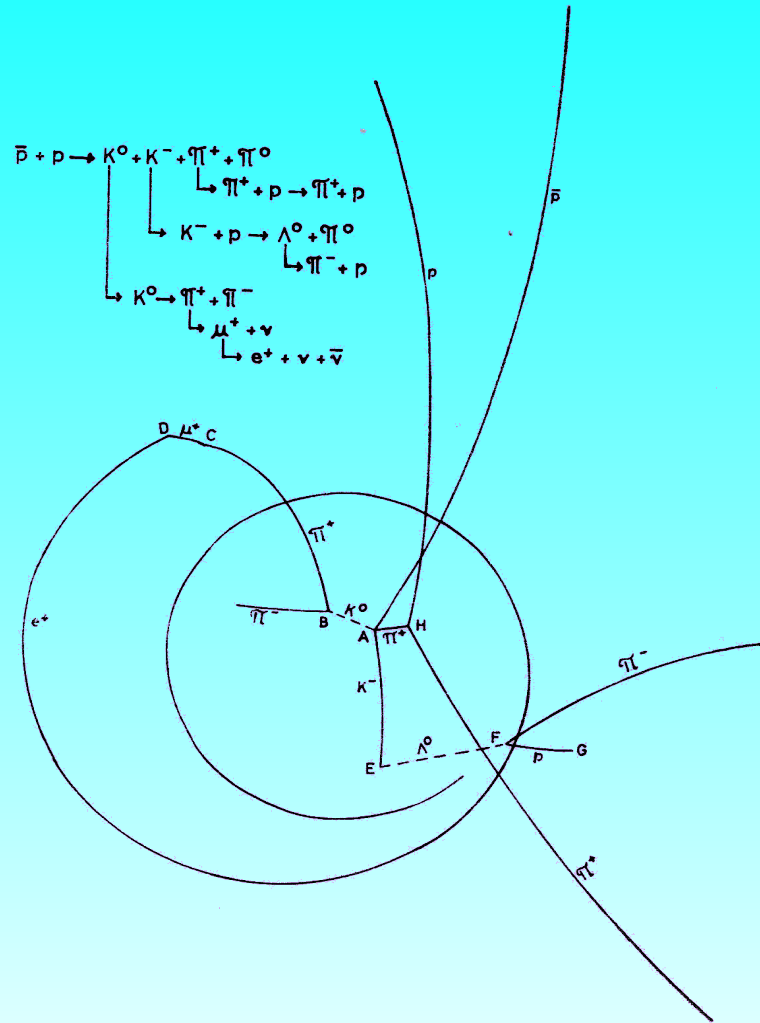
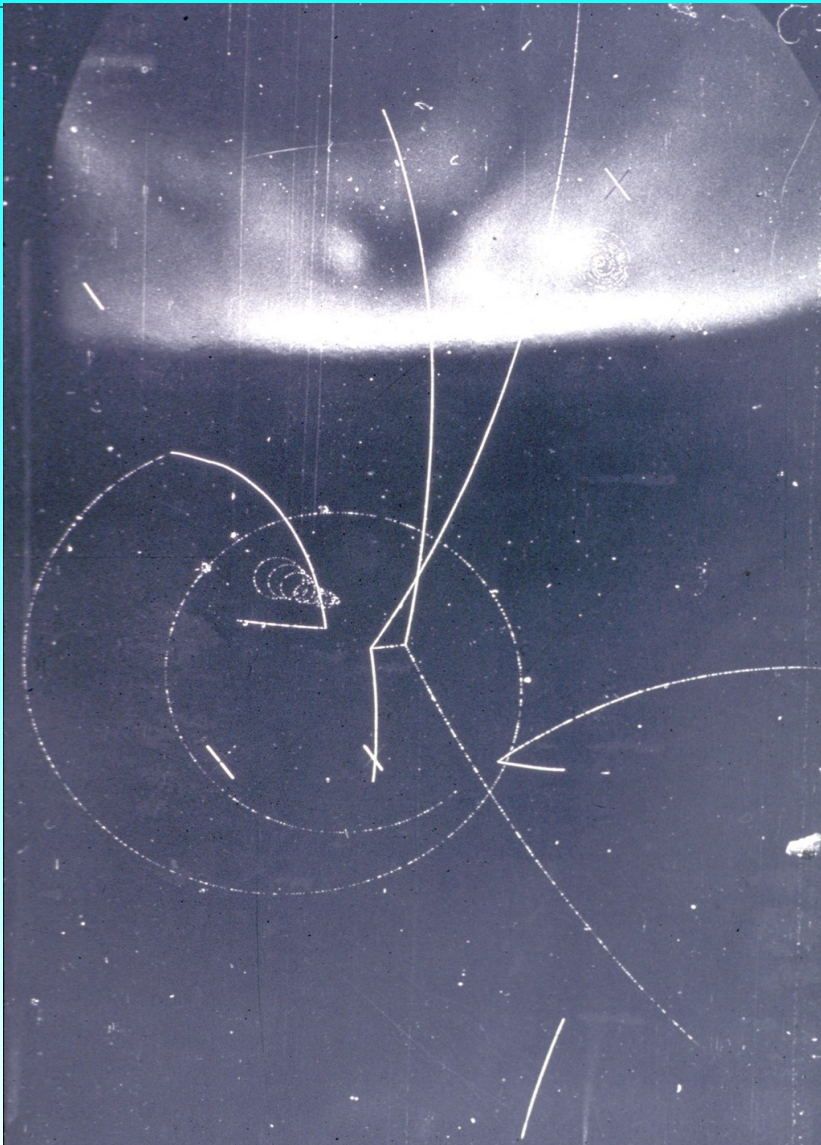
последвано от



(страницата не се запазва)



Открытие на антиматерии



Лептонно число

Загадка в края на 50-те години: отсъствието на разпади $\mu \rightarrow e \gamma$

Експериментална граница: $< 1 \text{ в } 10^6 \quad \mu^+ \rightarrow e^+ \bar{\nu} \nu$ разпада

Възможно решение: съществуването на ново запазващо се “мюонно”
квантово число, отличаващо мюоните от електроните

За да са разрешени разпадите $\mu^+ \rightarrow e^+ \nu \bar{\nu}$, $\bar{\nu}$ трябва да има “мюонно”
квантово число, но не и $\nu \Rightarrow$ в μ^+ разпада, $\bar{\nu}$ не е античастицата ν

\Rightarrow две различни неутрина (ν_e , ν_μ) в разпада $\mu^+ \rightarrow e^+ \nu_e \bar{\nu}_\mu$

Следствие за разпадите на π -мезини: $\pi^+ \rightarrow \mu^+ \nu_\mu$; $\pi^- \rightarrow \mu^- \bar{\nu}_\mu$
за да се запази “мюонното” квантово число

Протонни скорители с високи енергии: интензивни източници на π^\pm -мезони

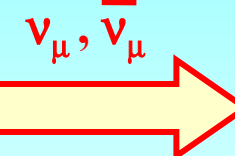
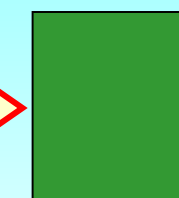
$\Rightarrow \nu_\mu, \bar{\nu}_\mu$

Експериментален метод



Област на
разпад за π

Преграда за спиране на всички
други частици, вкл. μ от разпад на π



Ако $\nu_\mu \neq \nu_e$, при взаимодействия с ν_μ се ражда μ^- а не e^- (напр.: $\nu_\mu + n \rightarrow \mu^- + p$)



Кварков модел



Края на 50-те – началото на 60-те години: откриване на много силно взаимодействащи частици на протонните ускорители с високи енергии (Berkeley Bevatron, BNL AGS, CERN PS), всички с много малки средни времена на живот ($10^{-20} – 10^{-23}$ s, типично за силни разпади)

⇒ каталог на > 100 силно взаимодействащи частици (наречани “адрони”)

АДРОНИТЕ ЕЛЕМЕНТАРНИ ЧАСТИЦИ ЛИ СА?

1964 (Gell-Mann, Zweig): Класификация на адроните в “поколения”; наблюдава се, че всички адрони могат да бъдат изградени от три “градивни блокчета” със спин $\frac{1}{2}$ (наречени “кварки” от Gell-Mann):

	<i>u</i>	<i>d</i>	<i>s</i>
Електричен заряд (в единици $ e $)	+2/3	-1/3	-1/3
Барионно число	1/3	1/3	1/3
Странност	0	0	-1

и три антикварки (\bar{u} , \bar{d} , \bar{s}) с противоположни ел. заряд,
барионно число и странност

Мезони: кварк-антикваркови двойки

Примери за не-страни мезони:

$$\pi^+ \equiv u\bar{d} ; \pi^- \equiv \bar{u}d ; \pi^0 \equiv (d\bar{d} - u\bar{u})/\sqrt{2}$$

Примери за странни мезони:

$$K^- \equiv s\bar{u} ; \bar{K}^0 \equiv s\bar{d} ; K^+ \equiv \bar{s}u ; K^0 \equiv \bar{s}d$$

Бариони: три кварка, свързани заедно

Антибариони: три антикварка, свързани заедно

Примери за не-страни бариони:

$$\text{proton} \equiv uud ; \text{neutron} \equiv udd$$

Примери за бариони със странност -1:

$$\Sigma^+ \equiv suu ; \Sigma^0 \equiv sud ; \Sigma^- \equiv sdd$$

Примери за бариони със странност -2:

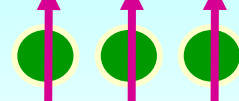
$$\Xi^0 \equiv ssu ; \Xi^- \equiv ssd$$

Физика на елементарните частици

“Декуплетът” на бариони със спин 3/2

<u>Странност</u>					<u>Маса (MeV/c^2)</u>
0	N^{*++} <i>uuu</i>	N^{*+} <i>uud</i>	$N^{*\circ}$ <i>udd</i>	N^{*-} <i>ddd</i>	1232
-1	Σ^{*+} <i>suu</i>	$\Sigma^{*\circ}$ <i>sud</i>	Σ^{*-} <i>sdd</i>		1384
-2		$\Xi^{*\circ}$ <i>ssu</i>	Ξ^{*-} <i>ssd</i>		1533
-3			Ω^- <i>sss</i>		1672 (предсказано)

Ω^- : свързаното състояние на три s – кварка с най-ниската маса
с пълен ъглов момент = $3/2 \Rightarrow$



принципът на Паули изиска трите кварка да не са идентични

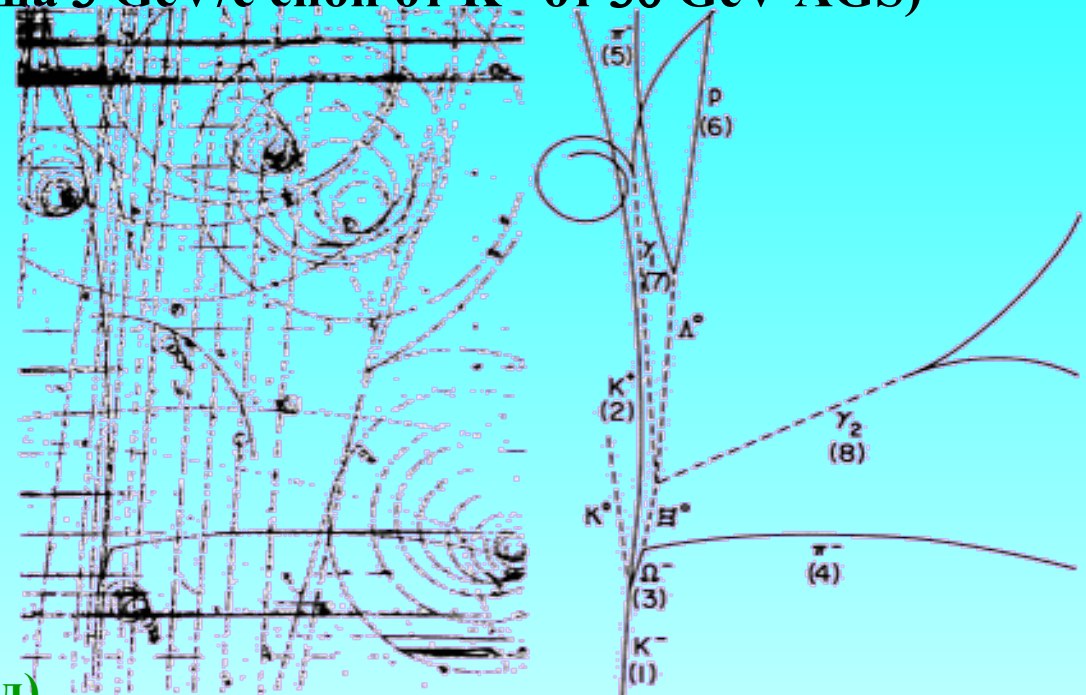
Първото Ω^- събитие (наблюдавано в двуметровата мехурчеста камера с течен водород в BNL, използваща 5 GeV/c сноп от K^- от 30 GeV AGS)

Верига от събития на фигуранта:



двета γ -кванта преминават в e^+e^- в течен водород

(много сполучливо събитие, защото средният свободен пробег за $\gamma \rightarrow e^+e^-$ в течен водород е ~ 10 m)



Масата на Ω^- , измерена от това събитие = 1686 ± 12 MeV/ c^2

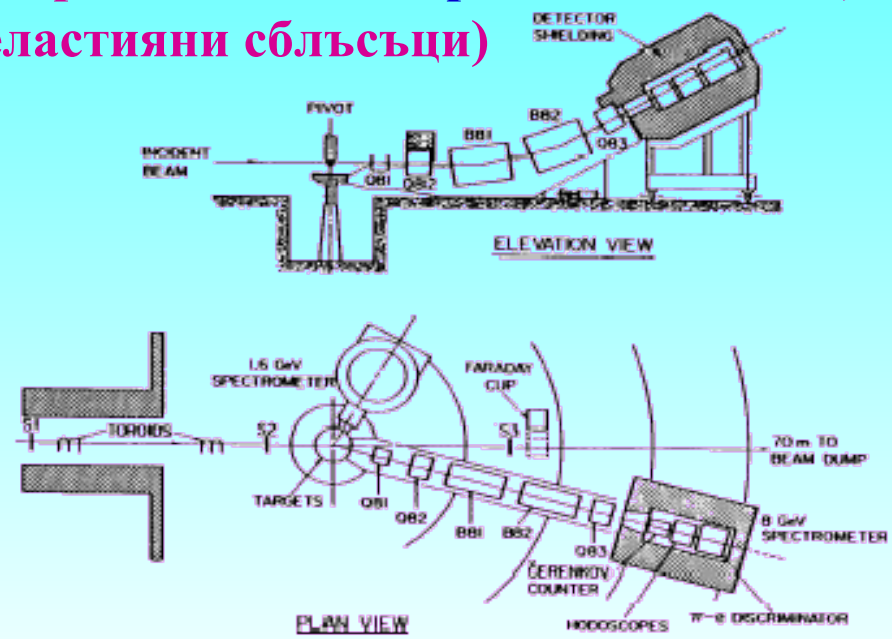
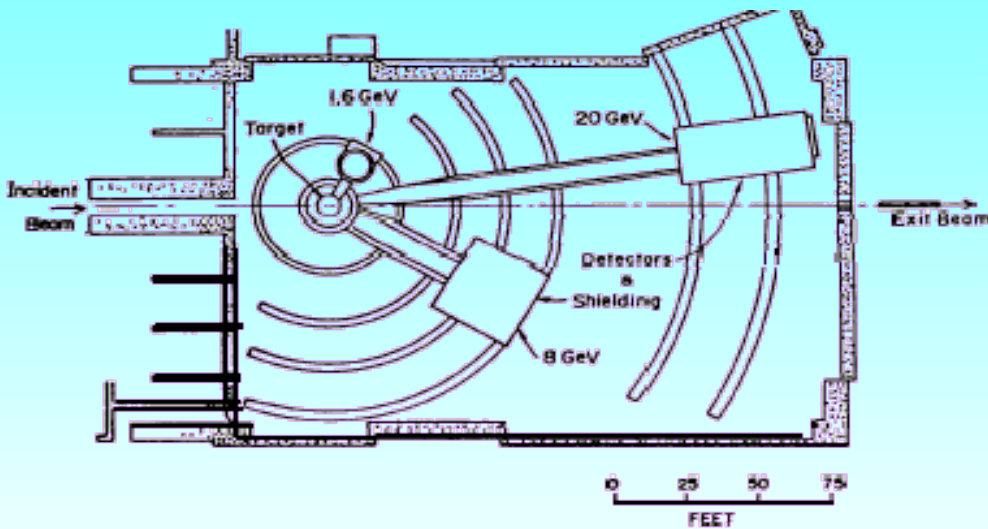
Дълбоко нееластично разсейване

Електрон-протонно разсейване, използващо 20 GeV електронен сноп от дългия две мили линеен ускорител в Stanford (1968 – 69).

Съвременната версия на оригиналния експеримент на Ръдърфорд:
разделителна способност \approx дължината на вълната за 20 GeV електрон $\approx 10^{-15}$ см

Три магнитни спектрометъра за детектиране на разсеяния електрон:

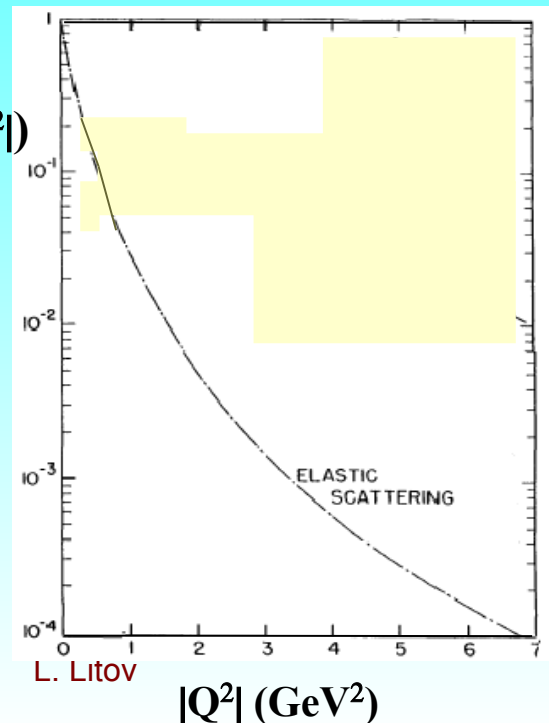
- 20 GeV спектрометър (изследва еластично разсейване $e^- + p \rightarrow e^- + p$)
- 8 GeV спектрометър (изследва нееластично разсейване $e^- + p \rightarrow e^- + \text{hadrons}$)
- 1.6 GeV спектрометър (изучава свръх нееластични сблъсъци)



Еластично разсейване на електрони от точков заряд $|e|$ при високи енергии:
диференциално сечение в система център на масите (формула на Mott)

$$\frac{d\sigma}{d\Omega} = \frac{\alpha^2(\hbar c)^2}{8E^2} \frac{\cos^2(\theta/2)}{\sin^4(\theta/2)} \equiv \sigma_M \quad \left(\alpha = \frac{e^2}{\hbar c} \approx \frac{1}{137} \right)$$

Разсейване от не-точково зарядово разпределение: σ_M се умножава на
“формфактор”:

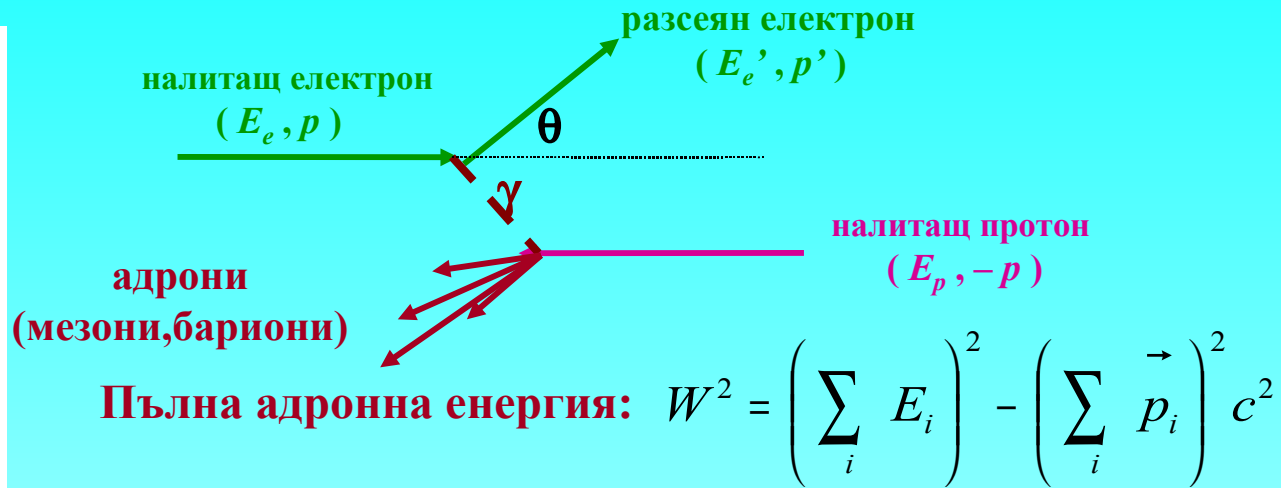
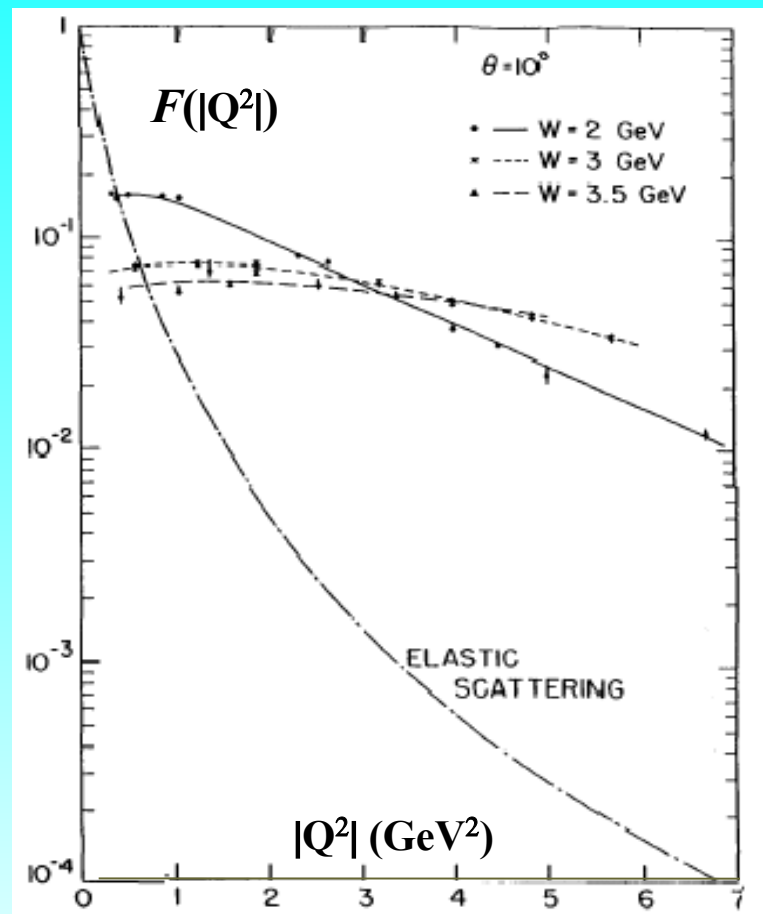


$$\frac{d\sigma}{d\Omega} = F(|Q^2|)\sigma_M$$

$|Q| = \hbar / D$: маса на обменения виртуален фотон
 D : линеен размер на областта от мишена, допринасяща за разсейването
 Увеличавайки $|Q| \Rightarrow$ намалява се електричният заряд на мишена

$F(|Q^2|) = 1$ за точкова частица
 \Rightarrow протонът не е точкова частица

Дълбоко нееластично разсейване



**За дълбоко нееластични сблъсъци,
сечението зависи слабо от $|Q^2|$,
говорещо за сблъсък с ТОЧКОВ обект**

Дълбоко нееластичните електрон-протон сблъсъци са еластични сблъсъци с точкови, електрически заредени, със спин $\frac{1}{2}$ съставни части на протона, носещи част x от импулса на налитащия протон

Всяка съставна част се описва с електричния ѝ заряд e_i (в единици $|e|$)

и с неговото разпределение x (dN_i/dx) ("структурна функция")

Ако тези съставни са u и d кварките, тогава дълбоко-нееластичните $e - p$ сблъсъци дават информация за специфична комбинация на структурни функции:

$$\left(\frac{dN}{dx} \right)_{e-p} = e_u^2 \frac{dN_u}{dx} + e_d^2 \frac{dN_d}{dx}$$

Сравнение на $\bar{\nu}_\mu - p$ и $\nu_\mu - p$ дълбоко нееластични сблъсъци при високи енергии при предположението, че тези сблъсъци са също и еластично разсейване от кварки $\underline{\bar{\nu}_\mu + p} \rightarrow \mu^- + \text{hadrons}$: $\nu_\mu + d \rightarrow \mu^- + u$ (зависи от dN_d/dx)

$\nu_\mu + p \rightarrow \mu^+ + \text{hadrons}$: $\nu_\mu + u \rightarrow \mu^+ + d$ (зависи от dN_u/dx)

(Взаимодействията на неутрино не зависят от електричния заряд)

Всички експериментални резултати за дълбоки нееластични $\bar{e} - p$, $\bar{\nu}_\mu - p$, $\nu_\mu - p$ сблъсъци се съгласуват с $e_u^2 = 4/9$ и $e_d^2 = 1/9$

Проблем с

барион

J=3/2

$$\Delta^{++} \Rightarrow u \uparrow u \uparrow u \uparrow$$

Той има симетрична вълнова функция, но е фермион.

Противоречие с принципа на Паули –

вълновата функция трябва да е антисиметрична

Решението – ново квантово число - цвят

$$N_c = 3 \quad q^\alpha, \quad \alpha = 1, 2, 3$$

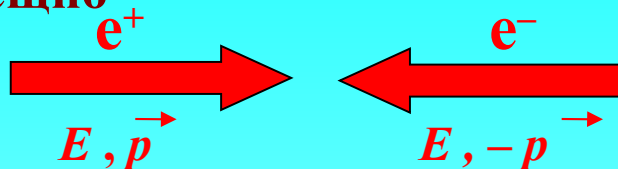
Тогава

$$\Delta^{++} = \frac{1}{\sqrt{6}} \epsilon^{\alpha\beta\gamma} u_\alpha \uparrow u_\beta \uparrow u_\gamma \uparrow$$

В общия случай

$$B = \frac{1}{\sqrt{6}} \epsilon^{\alpha\beta\gamma} |q_\alpha q_\beta q_\gamma\rangle \quad M = \frac{1}{\sqrt{3}} \delta^{\alpha\beta} |q_\alpha \bar{q}_\beta\rangle$$

Два спона с противоположни посоки в един и същ магнитен пръстен, сблъскващи се насрещно



Процес в две стъпки: $e^+ + e^- \rightarrow$ виртуален фотон $\rightarrow \bar{f} + f$

f : произволна заредена елементарна частица със спин $1/2$ (μ , кварк)

(изключва се e^+e^- еластично разсейване)

Енергия и импулс на виртуалния фотон: $E_\gamma = 2E, p_\gamma = 0 \Rightarrow Q^2 = E_\gamma^2 - p_\gamma^2 c^2 = 4E^2$

Сечение за $e^+e^- \rightarrow f\bar{f}$:

$$\alpha = e^2/(\hbar c) \approx 1/137$$

e_f : електричен заряд на f (в $|e|$)

$\beta = v/c$ за излитаща частица f

$$\sigma = \frac{2\pi \alpha^2 \Box^2 c^2}{3Q^2} e_f^2 \beta (3 - \beta)$$

(точно потвърдена формула за $e^+e^- \rightarrow \mu^+\mu^-$)

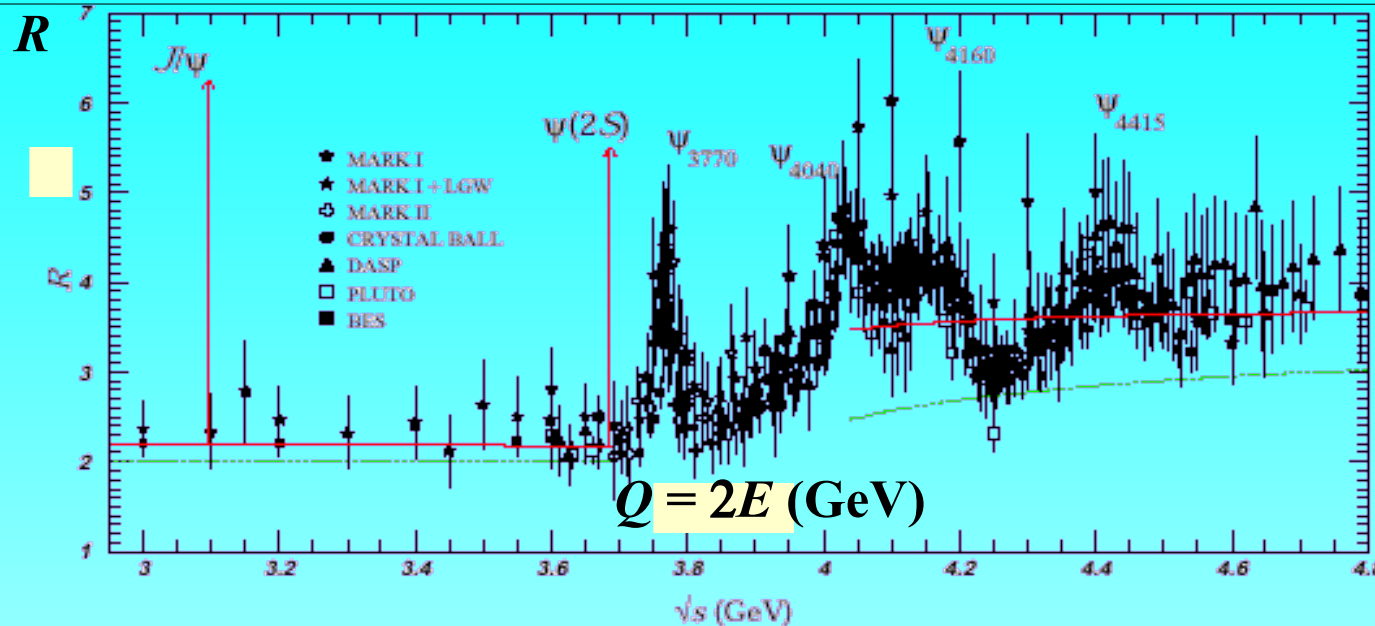
Допускане: $e^+e^- \rightarrow$ кварк (q) + антикварк (\bar{q}) \rightarrow адрони

\Rightarrow при енергии $E \gg m_q c^2$ (за $q = u, d, s$) $\beta \approx 1$:

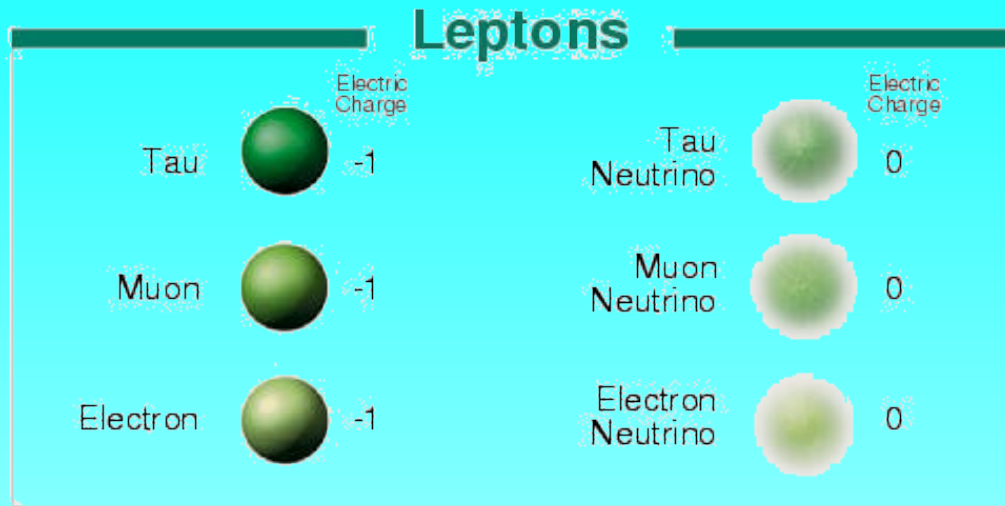
$$R \equiv \frac{\sigma(e^+e^- \rightarrow \text{hadrons})}{\sigma(e^+e^- \rightarrow \mu^+\mu^-)} = e_u^2 + e_d^2 + e_s^2 = \frac{4}{9} + \frac{1}{9} + \frac{1}{9} = \frac{2}{3}$$

Физика на елементарните частици

Stanford e^+e^- collider SPEAR (1974 –75):



- За $Q < 3.6 \text{ GeV}$ $R \approx 2$. Ако всеки кварк съществува в три различни състояния, $R \approx 2$ е в съответствие с $3 \times (2/3)$. Това би решило проблема с Ω^- .
- Между 3 и 4.5 GeV, върховете и структурите се дължат на раждането на кварк-антикварк свързани състояния и резонанси на четвърти кварк ("charm", c) с електричен заряд $+2/3$
- Над 4.6 GeV $R \approx 4.3$. Освен $R \approx 2$ (от u, d, s) $+ 3 \times (4/9) = 3.3$ от добавянето на c кварка. Данните предполагат раждане на допълнителна елементарна частица със спин $1/2$ и електричен заряд = 1 (по-късно определена като τ – лептон) (без силно взаимодействие) с маса $\approx 1777 \text{ MeV}/c^2$.



The particle drawings are simple artistic representations